

# Modélisation des réseaux linéaires en régime sinusoïdal forcé

EC III

**Motivation :** C'est un cadre d'étude très général : tous les signaux peuvent s'écrire comme une superposition de signaux sinusoïdaux

**Objectifs :** Utilisation d'un nouveau formalisme en physique

- Introduire le formalisme complexe pour décrire le régime sinusoïdal
- Décrire les caractéristiques des dipôles linéaires en régime sinusoïdal : notion d'impédance complexe  $\underline{Z}$

**Prérequis :** -Trigo de base  
-eq. diff. lin. à coef. cts.  
-Nombres complexes

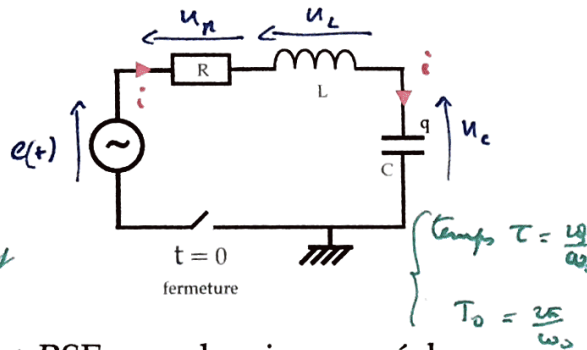
## I Etude du circuit RLC série en régime sinusoïdal forcé

On considère le circuit RLC série mais avec une alimentation sinusoïdale :

$$e(t) = e_0 \cos(\omega t)$$

fréquence de forçage

→ variable (ce paramètre  $\neq \omega_0$ )  
fréquence propre des circuit



### 1 - Etude du régime transitoire + RSE avec des signaux réels

α - Mise en équation

$$e = u_R + u_L + u_C \quad \left( i = C \frac{du_C}{dt} \right)$$

$$e(t) = R i + L \frac{di}{dt} + u_C \quad \text{on dérive :}$$

$$L \frac{d^2 i}{dt^2} + R \frac{di}{dt} + \frac{1}{C} i = -e_0 \omega \sin(\omega t)$$

$$\text{soit } \frac{d^2 i}{dt^2} + \frac{R}{L} \frac{di}{dt} + \frac{1}{LC} i = -\frac{e_0 \omega}{L} \sin(\omega t)$$

forme canonique

$$\frac{d^2 i}{dt^2} + \frac{\omega_0}{Q} \frac{di}{dt} + \omega_0^2 i = -\frac{e_0 \omega}{L} \sin(\omega t)$$

⚠  $\omega \neq \omega_0$

Avec  $\omega_0 = \frac{1}{\sqrt{LC}}$  et  $Q = \frac{1}{R} \sqrt{\frac{L}{C}}$

**β - Résolution** i - Recherche des solutions homogènes

$$i_h = e^{-\lambda t} [A \cosh(\tilde{\omega} t) + B \sinh(\tilde{\omega} t)]$$

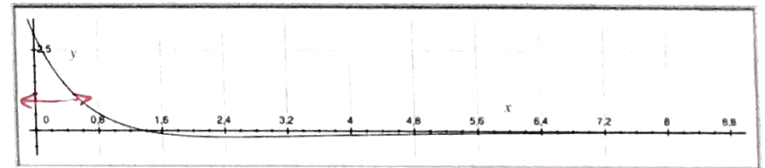
$$i_h = e^{-\lambda t} [A + B t]$$

$$i_h = e^{-\lambda t} [A \cos(\omega t) + B \sin(\omega t)]$$

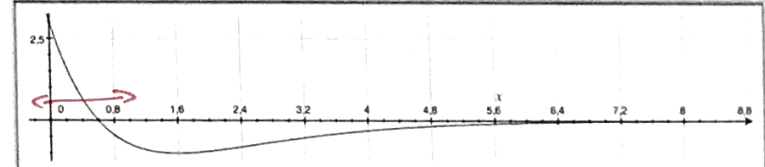
}  $\propto e^{-\lambda t} = e^{-\frac{t}{\tau}}$   
amorti sur un temps  
 $\tau = \frac{2Q}{\omega_0}$

Caractéristique commune à toutes ces solutions :

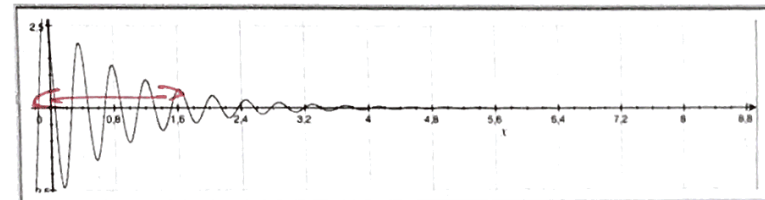
Tous les sol<sup>o</sup> tendent vers 0 sur un temps  $\tau$



$Q < \frac{1}{2}$



$Q = \frac{1}{2}$



$Q > \frac{1}{2}$

Temps  $\tau$  qui augmente avec le facteur de qualité

β - Résolution

ii - Recherche d'une solution particulière

On veut un signal T-périodique  $T = \frac{2\pi}{\omega} \neq T_0 \triangle$  purement  
*amplitude & phase inconnues Sinusoïde.*

Solution obtenue avec les réels :

$$i^P = i_0 \cos(\omega t + \varphi)$$

1 - L'amplitude est une fonction de  $\omega$  qui vérifie :

$$i_0(\omega) = \frac{\omega C e_0}{\sqrt{1 - \left(\frac{\omega}{\omega_0}\right)^2 + \left(\frac{\omega}{Q\omega_0}\right)^2}}$$

2 - La phase est une fonction de  $\omega$  qui vérifie :

$$\cos(\varphi) = \frac{\frac{\omega}{Q\omega_0}}{\sqrt{1 - \left(\frac{\omega}{\omega_0}\right)^2 + \left(\frac{\omega}{Q\omega_0}\right)^2}} \quad \sin(\varphi) = \frac{1 - \left(\frac{\omega}{\omega_0}\right)^2}{\sqrt{1 - \left(\frac{\omega}{\omega_0}\right)^2 + \left(\frac{\omega}{Q\omega_0}\right)^2}}$$

β - Résolution

iii - Solutions générales

SG = SH + SP

$$i(t) = i^h(t) + i^p(t) \quad \frac{di}{dt}(t) = \frac{di^h}{dt}(t) + \frac{di^p}{dt}$$

On applique alors les conditions initiales sur SG qui donnent A et B.

$i(0) = 0$   $\frac{di}{dt}(0) = \frac{e_0}{L} \cos(\omega t_0)$   
*expression lourde qui permet de trouver A et B.*

$e(t_0)$  au moment où je ferme l'interrupteur  
 La solution générale se décompose en deux régimes :

$t \sim \text{qq } \tau \rightarrow$  Un régime transitoire : mélange de SH et SP fonction de  $\Omega$  et de  $\omega$ .

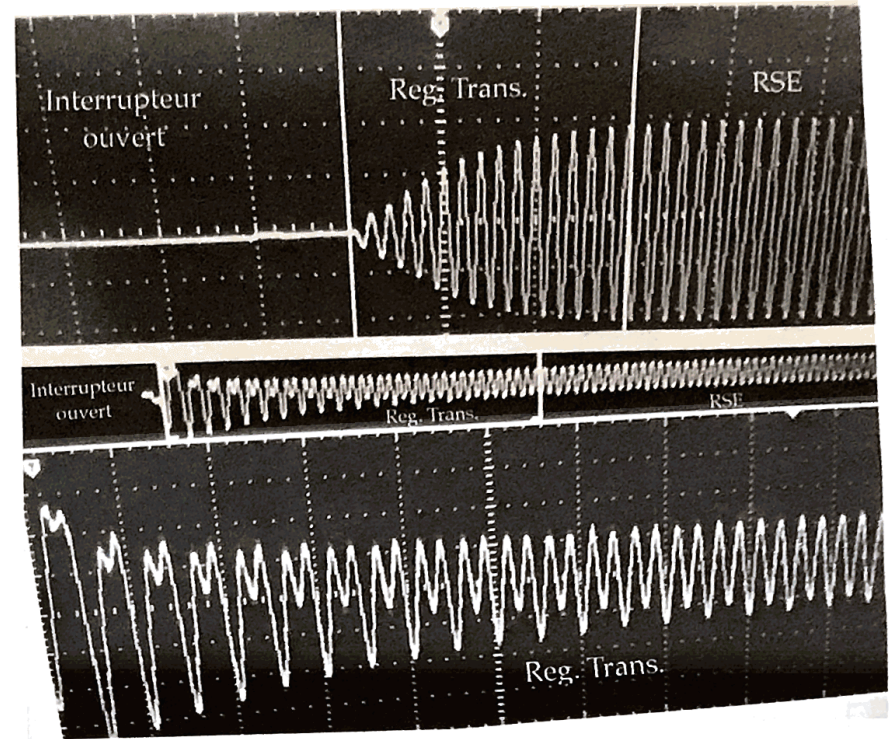
$\rightarrow$  C'est le démarrage des oscillations, fonction entre autres des conditions initiales

*donc de  $\omega_0$  et  $\tau$*

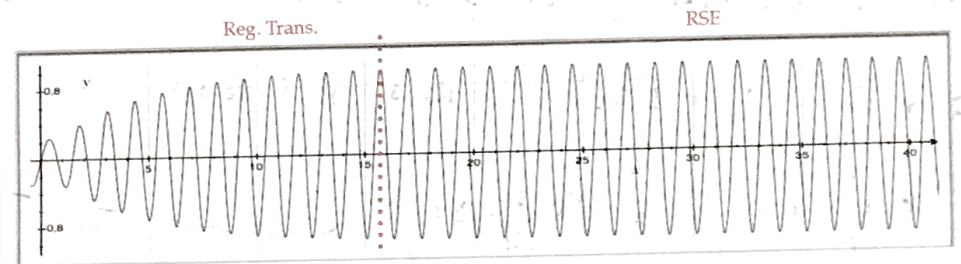
$t \gg \tau \rightarrow$  Un régime Sinusoïdal établi (RSE) de fréquence  $\omega$  : caractérisé par  $i_0(\omega)$  et  $\varphi(\omega)$

$\rightarrow$  Ce régime est indépendant des CI mais dépend de  $\omega$  et du facteur de qualité Q

*et  $\omega_0$*



Exemple de démarrage des oscillations : en fonction des conditions initiales en fonction de la fréquence



Dans tous les cas, une fois la solution homogène amortie, le régime transitoire cède la place au Régime Sinusoïdal Etabli (RSE) caractérisé par :

- une amplitude
- une phase

C'est la solution particulière  $i^p$ , paramétrée par  $\omega$

2) Propriétés de la RSE

± Représentation de signaux.

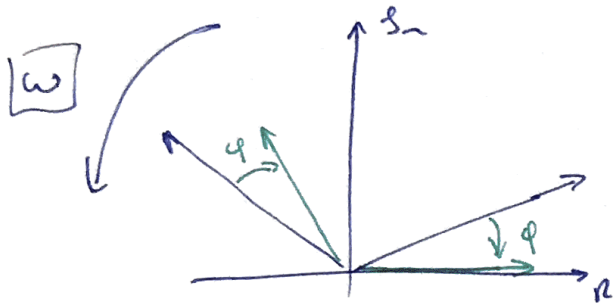
entrée:  $e(t) = e_0 \cos(\omega t)$



sortie:  $s(t) = s_0 \cos(\omega t + \varphi)$

$e(t) = e_0 e^{j\omega t}$

$s(t) = s_0 e^{j\omega t} = s_0 e^{j(\omega t + \varphi)}$



$\varphi < 0$   $s$  est en retard.

$\varphi = -2\pi \frac{\Delta t}{T}$

Conditions d'utilisation: Les opérateurs doivent être linéaires:

ex:  $\alpha \text{Re}(z_1) + \beta \text{Re}(z_2) = \text{Re}(\alpha z_1 + \beta z_2)$

$\frac{d}{dt} (\text{Re}(z(t))) = \text{Re}(\frac{d}{dt} z(t))$

$\int_0^t \text{Re}(z(t)) dt = \text{Re}(\int_0^t z(t) dt)$

Soit  $s(t) = s_0 e^{j(\omega t + \varphi)}$ .

\*  $\frac{d}{dt} s(t) = j\omega s_0 e^{j\omega t + \varphi} = j\omega s$  [x]  $j\omega$

\*  $\int s(t) dt = \frac{s_0 e^{j\omega t + \varphi}}{j\omega} = \frac{s}{j\omega}$  [÷]  $j\omega$

Signal de valeur moyenne nulle

Pls en réel:  $\frac{d}{dt} \cos(\omega t) \rightarrow -\omega \sin(\omega t)$

$\frac{d}{dt} \sin(\omega t) \rightarrow +\omega \cos(\omega t)$

$\cos \leftrightarrow \sin$  ⊕ changement de signe ou pas.

\*  $\frac{d}{dt} (\text{Re}(s_0 \cos(\omega t + \varphi))) = -s_0 \omega \sin(\omega t + \varphi)$

\*  $\text{Re}(\frac{d}{dt} s) = \text{Re}(j\omega s_0 e^{j(\omega t + \varphi)}) = s_0 \omega \text{Re}(j \cos + j \sin) = -s_0 \omega \sin(\omega t + \varphi)$

Contre ex:  $\text{Re}(u \cdot i) \neq \text{Re}(u) \times \text{Re}(i) \Rightarrow \boxed{\mathcal{R}(t) = \text{Re}(u(t)) \times \text{Re}(i(t))}$

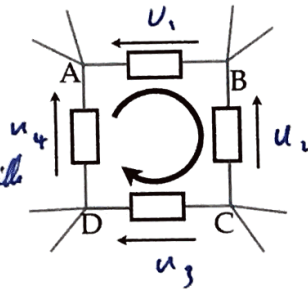
⇒ pas de multiplicité de signaux.



## II Modélisation $\mathbb{C}$ des dipôles linéaire usuels

### 1 - Les lois de Kirchhoff

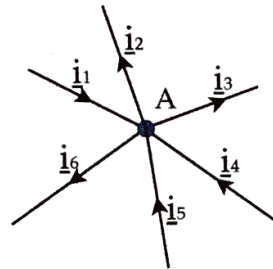
La loi des mailles:  $\sum_n \epsilon_n u_n = 0$



$\mathbb{C} \rightarrow \sum_n \epsilon_n u_n = 0$

$\left\{ \begin{array}{l} \epsilon_n = +1 \text{ sens de la maille} \\ \epsilon_n = -1 \text{ sens opposé} \end{array} \right.$

La loi des noeuds:  $\sum_n \epsilon_n i_n = 0$

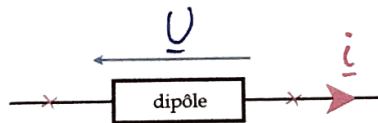


$\mathbb{C} \rightarrow \sum_n \epsilon_n i_n = 0$

$\left\{ \begin{array}{l} \epsilon_n = +1 \text{ entrant} \\ \epsilon_n = -1 \text{ sortant} \end{array} \right.$   
(convention)  
d'orientation.

### 2 - Notion d'impédance $\mathbb{C}$ :

$\alpha$  - Définition et propriétés



On considère des dipôles linéaires et passifs.

Définition d'un dipôle linéaire & passif:  $\forall F(t) = 0$

$$e_0 u + e_1 \frac{du}{dt} + \dots = b_0 i + b_1 \frac{di}{dt}$$

$\mathbb{C} \rightarrow e_0 u + e_1 \frac{du}{dt} + \dots = b_0 i + b_1 \frac{di}{dt} \dots$

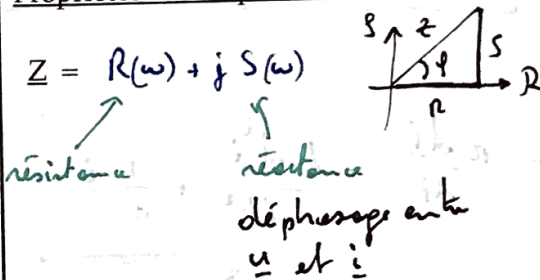
Soit  $[e_0 + j\omega e_1 + (j\omega)^2 e_2 + \dots] u = [b_0 + j\omega b_1 + (j\omega)^2 b_2 + \dots] i$

Soit la relation générale:

$\underline{u} = \underline{z} \underline{i}$  ( $z$  en Ohm)

Avec:  $\underline{z} = \frac{b_0 + j\omega b_1 + (j\omega)^2 b_2 + \dots}{e_0 + j\omega e_1 + (j\omega)^2 e_2 + \dots}$

Propriétés de l'impédance  $\mathbb{C}$ :



écriture exponentielle

$\underline{Z} = z(\omega) e^{j\phi(\omega)}$

$|\underline{Z}| = z(\omega) = \sqrt{R^2 + S^2}$

$\tan(\phi(\underline{Z})) = \frac{S}{R}$

Pour un dipôle linéaire:  $\underline{u} = u_0 e^{j(\omega t + \phi_u)}$   $\underline{i} = i_0 e^{j(\omega t + \phi_i)}$

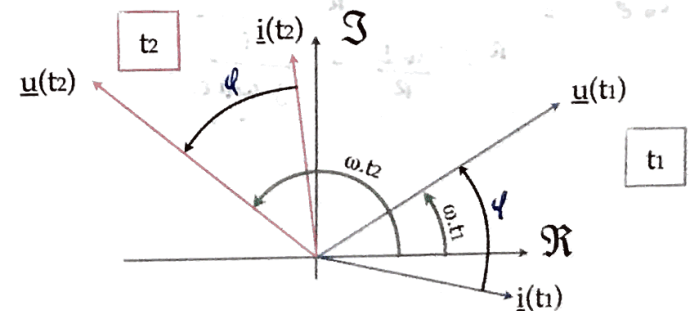
$\underline{z} = \frac{\underline{u}}{\underline{i}} = \frac{u_0}{i_0} e^{j(\phi_u - \phi_i)}$

$|\underline{Z}| = \frac{u_0}{i_0}$   $\phi(\underline{z}) = \phi_u - \phi_i$

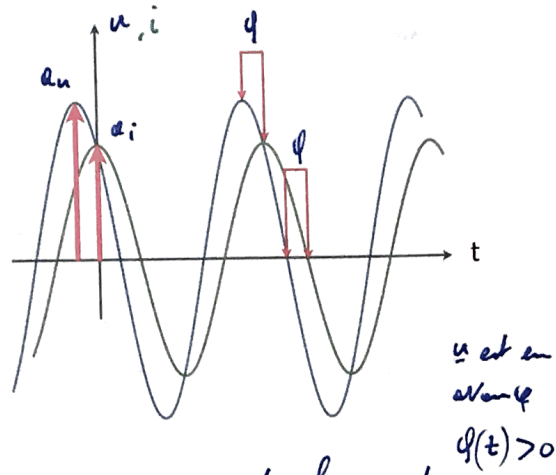
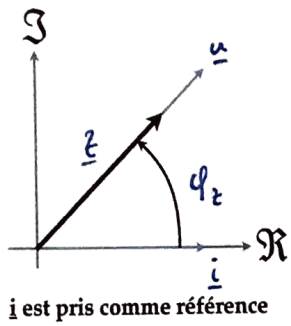
cas 1: l'impédance  $\mathbb{C}$  relie les amplitudes de  $\underline{u}$  et  $\underline{i}$  par sa module

cas 2:  $\phi$  est responsable d'un déphasage entre  $\underline{u}$  et  $\underline{i}$ .

Représentation des signaux  $\mathbb{C}$ :



Représentation de Fresnel de l'impédance C:  $\underline{z}$  ds le plan  $\mathbb{C}$



Concrètement:

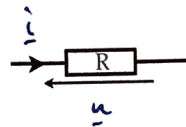
Quand un dipôle est parcouru par un courant, le courant et la tension ne sont plus en phase à priori.

Rq: On définit aussi l'admittance C:  $\underline{y} \equiv \frac{1}{\underline{z}}$  en Siemens (S)

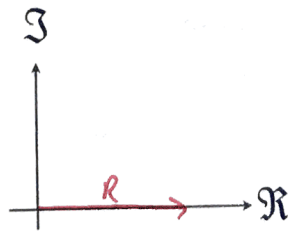
$\beta$  - Impédances des dipôles usuels:

\* La résistance:

$u = Ri \xrightarrow{\mathbb{C}} \underline{u} = R \underline{i}$



Soit  $\underline{Z}_R = R$

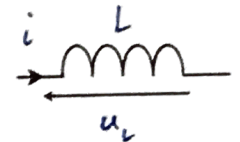


Propriété:

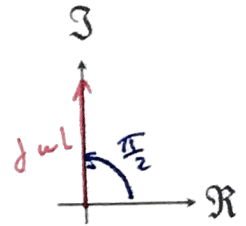
Aux bornes d'une R... par déplacement  
+ comportement dépend pas de la fréquence

\* L'inductance:

$u = L \frac{di}{dt} \xrightarrow{\mathbb{C}} \underline{u} = j\omega L \underline{i}$



Soit  $\underline{Z}_L = j\omega L$



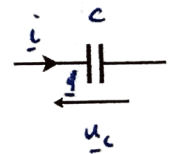
Comportements asymptotiques:

$\omega = 0 \quad |Z_L| = 0 \quad \text{---} \Rightarrow$  fil. (R.P.)  
 $\omega \rightarrow \infty \quad |Z_L| \rightarrow \infty \quad \text{---} \Rightarrow$  coupe circuit.

$\phi(t) = +\frac{\pi}{2} \quad \forall \omega$  induit une phase avance de la tension

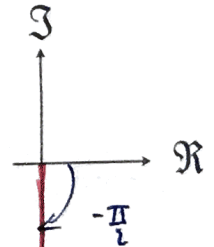
\* Le condensateur:

$i = C \frac{du}{dt} \xrightarrow{\mathbb{C}} \underline{i} = j\omega C \underline{u}$



$\underline{u} = \frac{1}{j\omega C} \underline{i}$

Soit  $\underline{Z}_C = \frac{1}{j\omega C}$



Comportements asymptotiques:

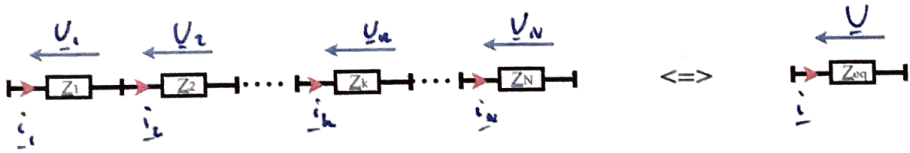
$\omega = 0 \quad |Z_C| \rightarrow \infty \quad \text{---} \Rightarrow$  coupe circuit. (R.P.)  
 $\omega \rightarrow \infty \quad |Z_C| \rightarrow 0 \quad \text{---} \Rightarrow$  fil.

$\phi(t) = -\frac{\pi}{2} \quad \forall \omega$  tension  $\underline{u}$  phase retard sur  $\underline{i}$

### 3 - Associations de dipôles linéaires usuels :

Très simple en  $\mathbb{C}$  : Formellement elle est analogue à l'association de résistances car on a toujours  $\underline{u} = \underline{Z} \cdot \underline{i}$  pour tout dipôle linéaire.

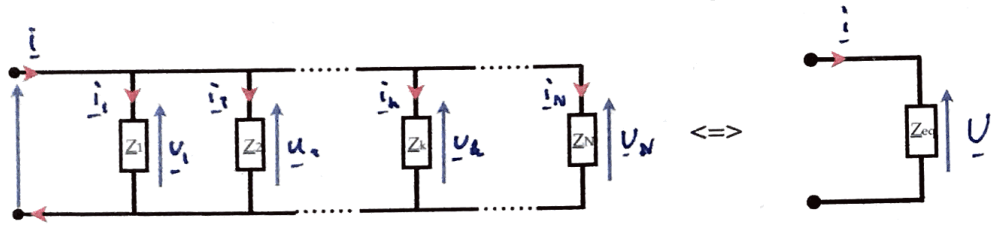
$\alpha$  - Association en série de dipôle linéaires :



$$\underline{U} = \underline{z}_{eq} \underline{i} = \sum_n \underline{U}_n = \sum_n \underline{z}_n \underline{i}_n = \left( \sum_n \underline{z}_n \right) \underline{i} \quad \text{car } \forall n \quad \underline{i}_n = \underline{i} \quad (\text{serie})$$

$$\underline{z}_{eq} = \sum_n \underline{z}_n$$

$\beta$  - Association en parallèle de dipôle linéaires :

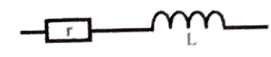


$$\underline{i} = \frac{\underline{U}}{\underline{z}_{eq}} = \sum_n \underline{i}_n = \sum_n \frac{\underline{U}_n}{\underline{z}_n} = \left( \sum_n \frac{1}{\underline{z}_n} \right) \underline{U} \quad \text{car } \forall n \quad \underline{U}_n = \underline{U} \quad (//)$$

$$\frac{1}{\underline{z}_{eq}} = \sum_n \frac{1}{\underline{z}_n} \quad \left( \underline{y}_{eq} = \sum_n \underline{y}_n \right)$$

### $\gamma$ - Exemples simples :

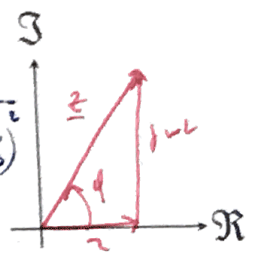
Inductance réelle :



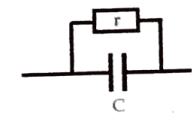
$$\underline{Z} = r + j\omega L$$

$$|Z| = \sqrt{r^2 + \omega^2 L^2} = r \sqrt{1 + \left(\frac{\omega L}{r}\right)^2}$$

$$\arg(Z) = \arctan\left(\frac{\omega L}{r}\right)$$



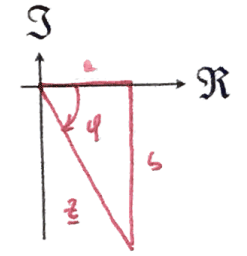
Condensateur réel :



$$\underline{Z} = \underline{z}_r // \underline{z}_c = \frac{\frac{r}{j\omega C}}{r + \frac{r}{j\omega C}} = \frac{r}{1 + j\omega r C} = \frac{r - j\omega r^2 C}{1 + \omega^2 r^2 C^2} = a - jb \quad (a, b > 0)$$

$$|Z| = \frac{r}{\sqrt{1 + \omega^2 r^2 C^2}}$$

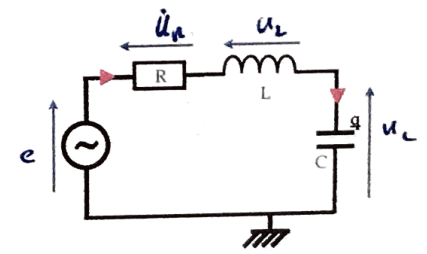
$$\arg(Z) = -\arg(1 + j\omega r C) = -\arctan(\omega r C)$$



Application directe : Trouvez  $\underline{i}(\omega)$  ?

$$\underline{e} = [r + j\omega L + \frac{1}{j\omega C}] \underline{i}$$

$$\underline{i}_0 e^{j\omega t} = \frac{e_0/R e^{j\omega t}}{1 + j\omega \frac{L}{r} + \frac{1}{j\omega r C}}$$

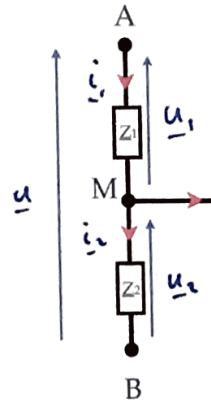


$$\underline{i}_0 = i_0 e^{j\phi} = \frac{e_0/R}{1 + j\omega \frac{L}{r} + \frac{1}{j\omega r C}}$$

#### 4 - Ponts diviseurs de tension et courant :

$\alpha$  - Diviseur de tension :  $\underline{i}_1 = \underline{i}_e = \underline{i}$

$$\underline{i} = \frac{\underline{U}}{\underline{z}_1 + \underline{z}_2} = \frac{\underline{U}_1}{\underline{z}_1} = \frac{\underline{U}_e}{\underline{z}_2}$$

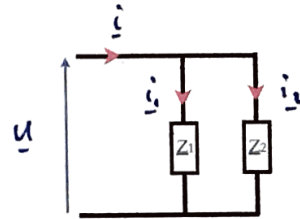


Hypothèse  $\underline{i}_0 = 0$

Soit  $\underline{U}_1 = \frac{\underline{z}_1}{\underline{z}_1 + \underline{z}_2} \underline{U}$

$\underline{U}_e = \frac{\underline{z}_2}{\underline{z}_1 + \underline{z}_2} \underline{U}$

$\beta$  - Diviseur de courant



$$\underline{U} = \underline{z}_1 \underline{i}_1 = \underline{z}_2 \underline{i}_2 = \frac{\underline{z}_1 \underline{z}_2}{\underline{z}_1 + \underline{z}_2} \underline{i}$$

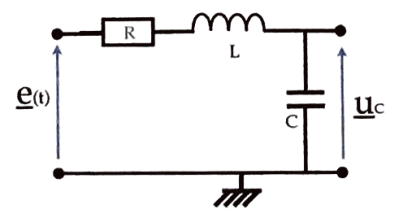
Soit  $\underline{i}_1 = \frac{\underline{z}_2}{\underline{z}_1 + \underline{z}_2} \underline{i} = \frac{\underline{y}_1}{\underline{y}_1 + \underline{y}_2} \underline{i}$

$\underline{i}_2 = \frac{\underline{z}_1}{\underline{z}_1 + \underline{z}_2} \underline{i} = \frac{\underline{y}_2}{\underline{y}_1 + \underline{y}_2} \underline{i}$

#### Application directe :

Exprimez  $\underline{u}_c$  en fonction de  $e$

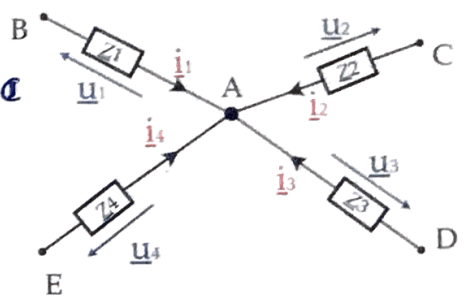
$$\underline{u}_c = \frac{\underline{z}_c}{\underline{z}_a + \underline{z}_b + \underline{z}_c} \underline{e} = \frac{1}{n + j\omega c + \frac{1}{j\omega c}} \underline{e}$$



$\underline{u}_c = \frac{\underline{e}}{1 - \omega^2 \underline{z}_c + j\omega n \underline{z}_c}$

#### 5 - Théorème de Millmann : (Même démo)

On peut faire le passage aux des potentiels  $\underline{U}_{AB} = \underline{V}_A - \underline{V}_B$   
 $\underline{U}_{AB} = \underline{V}_A - \underline{V}_B$



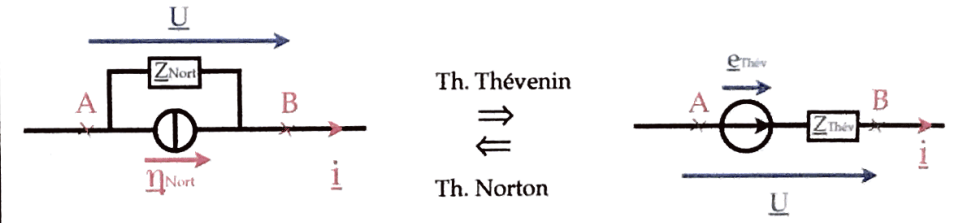
Soit 
$$\underline{V}_A = \frac{\sum_k \frac{V_k}{\underline{z}_k}}{\sum_n \frac{1}{\underline{z}_k}} = \frac{\sum_n \underline{y}_k V_k}{\sum_n \underline{y}_k}$$
 m démos

#### 6 - Principe de superposition : (Admis)

Le principe de superposition s'applique toujours en RSE :

- Lois de Kirchhoff linéaires
- Dipôles linéaires :  $\underline{U} = \underline{Z} \underline{I}$
- Pas besoin de Cond. Ini.

#### 7 - Equivalences des générateurs de Thévenin et Norton : (Admis)



$\underline{b}_{Nort} = \frac{\underline{e}_{Thév}}{\underline{z}_{Th}}$

$\underline{e}_{Thév} = \underline{z}_{Nort} \cdot \underline{b}_{Nort}$

$\underline{z}_{Thév} = \underline{z}_{Nort}$

### III Réponse en courant et tension d'un circuit RLC série RSE <sup>(1)</sup>

3 2 temps

$$\tau = \frac{1}{\lambda} = \frac{2\tau}{\omega_0}$$

$$T_0 = \frac{2\pi}{\omega_0}$$

#### 1) Réponse en intensité

LDN:  $\underline{e} = \underline{u}_R + \underline{u}_L + \underline{u}_C = [Z_R + Z_L + Z_C] \underline{i} \Rightarrow \underline{i}_0 e^{j\omega t} = \frac{e_0 e^{j\omega t}}{R + j\omega L + \frac{1}{j\omega C}}$

Soit 
$$i_0 e^{j\varphi} = \frac{\frac{e_0}{R}}{1 + j\omega L \frac{1}{R} + \frac{1}{j\omega RC}}$$

$$\omega_0 = \frac{1}{\sqrt{LC}} \Rightarrow$$

$$\omega_0 \sqrt{LC} = 1$$

$$Q = \frac{\omega}{\omega_0}$$

1<sup>ère</sup> forme: (pour étudier résonance)

$$\underline{i}_0 = i_0 e^{j\varphi} = \frac{\frac{e_0}{R}}{1 + j\left[\frac{\omega L}{\omega_0 \sqrt{LC} R} - \frac{\omega_0 \sqrt{LC}}{\omega RC}\right]} = \frac{\frac{e_0}{R}}{1 + jQ\left[\frac{\omega}{\omega_0} - \frac{\omega_0}{\omega}\right]} = i_0 e^{j\varphi}$$

$\frac{1}{R\sqrt{LC}} \quad \frac{1}{R\sqrt{LC}} = \rho$

$R\rho = X = \frac{\omega}{\omega_0}$

2<sup>ème</sup> forme: (forme canonique)

$$R\sqrt{LC} = \frac{1}{\rho}$$

Soit

$$i_0 e^{j\varphi} = \frac{\frac{e_0}{R} \cdot j\omega RC}{1 + j\omega RC - \frac{\omega^2 LC}{\omega_0^2 LC}}$$

$$i_0 = i_0 e^{j\varphi} = \frac{\frac{e_0}{R} \cdot j\frac{\omega}{\omega_0}}{1 - \left(\frac{\omega}{\omega_0}\right)^2 + j\frac{\omega}{Q\omega_0}}$$

*forme canonique*



Amplitude du courant :  $|\underline{i}| = |\underline{i}_0| = i_0$

$$i_0(\omega) = |\underline{i}_0| = \frac{\frac{e_0}{R}}{\sqrt{1 + Q^2 \left[ \frac{\omega}{\omega_0} - \frac{\omega_0}{\omega} \right]^2}}$$

BF:  $i_0 \rightarrow 0$

$\omega = \omega_0$ :  $i_0 = \frac{e_0}{R} = I_{MAX}$

HF:  $i_0 \rightarrow 0$

BF:  $\omega \ll \omega_0$      $\frac{\omega_0}{\omega} \gg 1 \gg \frac{\omega}{\omega_0}$

$$\underline{i}_0 = \frac{\frac{e_0}{R}}{1 + jQ \left[ \frac{\omega}{\omega_0} - \frac{\omega_0}{\omega} \right]} \approx +j \frac{e_0}{RQ} \frac{\omega}{\omega_0}$$

$$\underline{i}_0 \approx j \frac{\omega \sqrt{LC}}{R} e_0 = j \omega C e_0$$

$$|\underline{i}_0|(\omega) = C e_0 \cdot \omega \rightarrow 0$$

$$\varphi = +\frac{\pi}{2} \text{ depend pas de } Q$$

$i_0 \propto \omega$   
BF

$\omega = \omega_0$ :  $\frac{\omega_0}{\omega_0} - \frac{\omega_0}{\omega_0} = 1 - 1 = 0$

$i_0(\omega_0) = \frac{e_0}{R} = I_{MAX}$

pe  $\omega_0$  fixe

R  $\rightarrow$  qd  $\varphi$

$\varphi = 0$

HF:  $\omega \gg \omega_0$      $\frac{\omega}{\omega_0} \gg 1 \gg \frac{\omega_0}{\omega}$

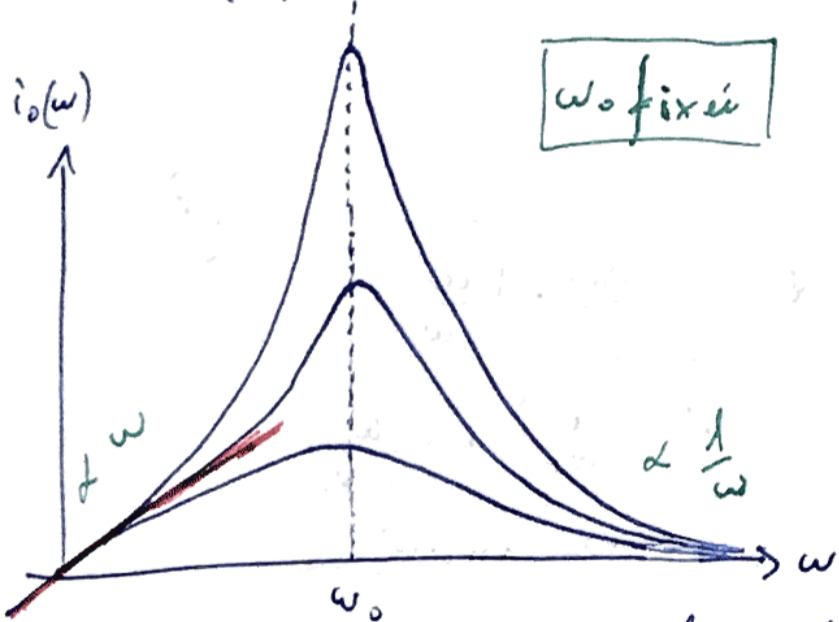
$$\underline{i}_0 = \frac{\frac{e_0}{R}}{1 + jQ \left[ \frac{\omega}{\omega_0} - \frac{\omega_0}{\omega} \right]} \approx -j \frac{e_0}{RQ} \frac{\omega_0}{\omega}$$

$$\underline{i}_0 \approx -j \frac{e_0}{R} \frac{1}{\sqrt{LC}} \frac{1}{\omega} = -j \frac{e_0}{L\omega} \left( = \frac{e_0}{\omega L} \right)$$

$\varphi = -\frac{\pi}{2}$

$$i_0(\omega) = \frac{e_0}{\omega L} \propto \frac{1}{\omega} \rightarrow 0$$

$i_0 \propto \frac{1}{\omega}$   
HF



Etude de maximum d'intensité.

$$i_0(\omega) = \frac{I_{MAX}}{\sqrt{1 + Q^2 \left[ \frac{\omega}{\omega_0} - \frac{\omega_0}{\omega} \right]^2}}$$

est maximum si le Dénominateur est minimal soit.  $\boxed{1}$

$$\frac{\omega}{\omega_0} - \frac{\omega_0}{\omega} = 0$$

$$\omega^2 = \omega_0^2$$

Sat  $\omega = \omega_0 > 0$

Il y a resonance d'intensité lorsque  $\omega = \omega_0$

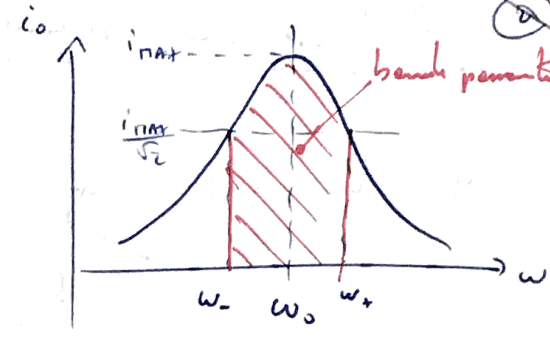
$i_0 = I_{MAX} = \frac{e_0}{R}$

$$\underline{i}_0 = i_0 e^{j\varphi} = \frac{I_{MAX}}{1}$$

$\varphi = 0$

\* Acrité de la résonance :

Def Bande passante :  $i \geq \frac{I_{max}}{\sqrt{2}}$



Rq :  $P_s = Ri^2 \rightarrow \boxed{= 2}$

Soit  $0 < \omega_- < \omega_0 < \omega_+$  tq :  $i_0(\omega_-) = i_0(\omega_+) = \frac{i_0(\omega_0)}{\sqrt{2}}$

$$i_0 = \frac{I_{max}}{\sqrt{1 + Q^2 \left[ \frac{\omega}{\omega_0} - \frac{\omega_0}{\omega} \right]^2}} = \frac{I_{max}}{\sqrt{1 + 1}}$$

Soit  $Q \left[ \frac{\omega}{\omega_0} - \frac{\omega_0}{\omega} \right] = \epsilon$  avec  $\begin{cases} \epsilon = 1 & \omega_+ \\ \epsilon = -1 & \omega_- \end{cases}$   
 Change de signe à  $\omega_0$

Soit  $x = \frac{\omega}{\omega_0}$   $Q \left[ x - \frac{1}{x} \right] = \epsilon$

$$x^2 - \frac{\epsilon x}{Q} - 1 = 0$$

$x = \frac{\omega}{\omega_0} = \pm \frac{\epsilon}{2Q} \pm \frac{1}{2} \sqrt{\frac{1}{Q^2} + 4}$

$$\begin{cases} x_+ = \frac{\omega_+}{\omega_0} = \frac{1}{2Q} + \sqrt{\frac{1}{4Q^2} + 1} > 0 \\ x_- = \frac{\omega_-}{\omega_0} = \frac{-1}{2Q} + \sqrt{\frac{1}{4Q^2} + 1} > 0 \end{cases}$$

$$\frac{\omega_+}{\omega_0} = \frac{1}{2Q} + \sqrt{1 + \frac{1}{4Q^2}}$$

et 
$$\frac{\omega_-}{\omega_0} = \frac{-1}{2Q} + \sqrt{1 + \frac{1}{4Q^2}}$$

$\Delta\omega = \omega_+ - \omega_-$

$$\frac{\Delta\omega}{\omega_0} = \frac{\omega_+ - \omega_-}{\omega_0} = \left( \frac{1}{2Q} + \sqrt{1 + \frac{1}{4Q^2}} \right) - \left( \frac{-1}{2Q} + \sqrt{1 + \frac{1}{4Q^2}} \right) = \frac{1}{Q} = \frac{1}{Q}$$

$$Q = \frac{\omega_0}{\Delta\omega}$$

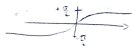
$Q \uparrow \Leftrightarrow \Delta\omega \downarrow$   $\left\{ \begin{array}{l} \text{bon facteur de qualité} \\ \Downarrow \\ \text{bande passante relative} \end{array} \right\}$

## Phase du courant

$$\varphi = \arg(i_0) = \arg\left(\frac{e_0}{R}\right) - \arg\left(1 + jQ\left[\frac{\omega}{\omega_0} - \frac{\omega_0}{\omega}\right]\right)$$

$1R^+$

$$\varphi = -\arctan\left(Q\left[\frac{\omega}{\omega_0} - \frac{\omega_0}{\omega}\right]\right)$$



**BF:**  $\omega \ll \omega_0$      $\frac{\omega_0}{\omega} \gg \frac{\omega}{\omega_0}$      $\varphi = -\arctan\left(-Q\frac{\omega_0}{\omega} \rightarrow -\infty\right) = +\frac{\pi}{2}$

$$i_0 = \frac{I_{max}}{1 + jQ\left[\frac{\omega}{\omega_0} - \frac{\omega_0}{\omega}\right]} \approx j \frac{I_{max}\omega}{\omega_0} \quad \arg(i_0) = \frac{\pi}{2}$$

$\omega = \omega_0$ :  $\varphi = -\arctan(0) = 0$      $\varphi = 0$

**HF:**  $\omega \gg \omega_0$      $\varphi = -\arctan\left(Q\frac{\omega}{\omega_0} \rightarrow +\infty\right) \rightarrow -\frac{\pi}{2}$

$$i_0 = \frac{I_{max}}{1 + jQ\left[\frac{\omega}{\omega_0} - \frac{\omega_0}{\omega}\right]} \approx -j \frac{I_{max}\omega}{Q\omega_0} \quad \arg(i_0) \approx -\frac{\pi}{2}$$

## Voisinage de la résonance: effet de Q

$$\omega = \omega_0 + \epsilon \quad x = \frac{\omega}{\omega_0} = 1 + \frac{\epsilon}{\omega_0} \quad \varphi = -\arctan\left(Q\left[1 + \frac{\epsilon}{\omega_0} - \frac{1}{1 + \frac{\epsilon}{\omega_0}}\right]\right)$$

$$\frac{1}{1 + \frac{\epsilon}{\omega_0}} = 1 - \frac{\epsilon}{\omega_0} \quad \text{soit } \varphi = -\arctan\left(Q\left[1 + \frac{\epsilon}{\omega_0} - 1 + \frac{\epsilon}{\omega_0}\right]\right) \quad \varphi = -\frac{2Q\epsilon}{\omega_0}$$

$$\arctan(x) \approx x$$

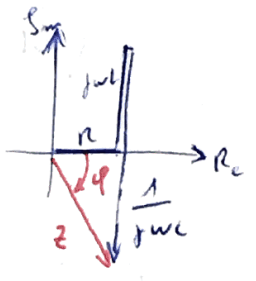
$Q \uparrow \Rightarrow$  effet de phase d'autant + brutal.

D) Conclusion

$$e_0 = \underline{z} \underline{i_0} \Rightarrow [R + j\omega L + \frac{1}{j\omega C}] \underline{i_0}$$

cas général :

$$\underline{z} = R + j\omega L + \frac{1}{j\omega C}$$



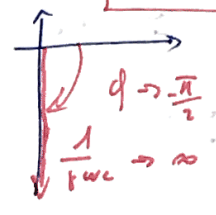
$$\underline{z} = R + j \frac{\omega L}{\omega_0 \sqrt{LC}} - \frac{\omega \sqrt{LC}}{\omega C}$$

$$\underline{z} = R [1 + jQ [\frac{\omega}{\omega_0} - \frac{\omega_0}{\omega}]]$$

BF :

$\omega \ll \omega_0$

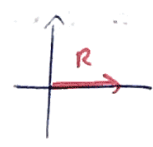
$$\underline{z} = R + j\omega L + \frac{1}{j\omega C} \approx \frac{1}{j\omega C}$$



Comme un condensateur  
capacitif

$\omega = \omega_0$

$$\underline{z} = R + \left[ \frac{j\omega L}{\omega_0 \sqrt{LC}} - \frac{\omega_0 \sqrt{LC}}{\omega C} \right] = R$$



Comportement purement  
résistif!  $|\phi| = 0$

HF :

$\omega \gg \omega_0$



$$\underline{z}_{HF} = R + jQ [\frac{\omega}{\omega_0} - \frac{\omega_0}{\omega}] \approx jQ \frac{\omega}{\omega_0} \rightarrow \infty$$



Comme une bobine  
inductif

2) Réponse en tension et résonance :

Uc :

$$\underline{U_c} = \underline{z_c} \underline{i}$$

\* DT :

$$\underline{U_c} = \underline{e} \frac{\underline{z_c}}{\underline{z_r} + \underline{z_c} + \underline{z_c}} = \underline{e} \frac{1}{R + j\omega L + \frac{1}{j\omega C}}$$

$$\underline{U_c} = \underline{U_0} e^{j\omega t} = \frac{e_0 e^{j\omega t}}{1 - \frac{\omega^2 LC}{(\omega_0 \sqrt{LC})^2} + j \frac{\omega RC}{\omega_0 \sqrt{LC}}}$$

$R \sqrt{\frac{C}{L}} = \frac{1}{Q}$

$$U_0 e^{j\phi_u} = \frac{e_0}{1 - (\frac{\omega}{\omega_0})^2 + j \frac{\omega}{Q \omega_0}}$$

As phase de la tension

$$\underline{U_c} = \frac{\underline{i}}{R + j\omega C}$$

$$\arg(\underline{U_0}) = \arg(\underline{i_0}) - \arg(j) = \phi_i - \frac{\pi}{2}$$



Amplitude de la tension :

$$u_0(\omega) = \frac{e_0}{\sqrt{\left(1 - \left(\frac{\omega}{\omega_0}\right)^2\right)^2 + \frac{\omega^2}{Q^2 \omega_0^2}}$$

**BF** :  $\omega \ll \omega_0$

$$u_0(\omega) = \frac{e_0}{\sqrt{\left(1 - \left(\frac{\omega}{\omega_0}\right)^2\right)^2 + \frac{\omega^2}{Q^2 \omega_0^2}} \approx e_0$$

$$u_0(\omega) \approx e_0$$

$\omega = \omega_0$  :  $u_0(\omega_0) = \frac{e_0}{\sqrt{(1-1)^2 + \frac{1}{Q^2}}} = Q e_0$

$$u_0(\omega_0) = Q e_0$$

**HF** :  $\omega \gg \omega_0$

$$u_0(\omega) = \frac{e_0}{\sqrt{\left(1 - \left(\frac{\omega}{\omega_0}\right)^2\right)^2 + \left(\frac{\omega}{Q \omega_0}\right)^2}} \approx \frac{e_0 \omega_0^2}{\omega^2} \propto \frac{1}{\omega^2} \rightarrow 0$$

Resonance : recherche de maximum :  $u_0(\omega) = \frac{e_0}{\sqrt{D(x)}}$  avec  $x = \frac{\omega}{\omega_0}$

$u_0(\omega)$  Max lorsque  $D(x)$  min

Soit  $f(x) = (1-x^2)^2 + \frac{x^2}{Q^2}$   $f'(x) = 2(-2x)(1-x^2) + \frac{2x}{Q^2} = 0$

Soit  $2x \left[ \frac{1}{Q^2} - 2(1-x^2) \right] = 0$

$x=0$   $\frac{1}{Q^2} = 2 - 2x^2$   $1 - x^2 = \frac{1}{2Q^2}$   $x^2 = 1 - \frac{1}{2Q^2}$   $x = \pm \sqrt{1 - \frac{1}{2Q^2}}$

$$\omega_{res} = \omega_0 \sqrt{1 - \frac{1}{2Q^2}} < \omega_0$$

il faut  $Q \geq \frac{1}{\sqrt{2}}$

$f''(x) = \frac{2}{Q^2} - 4(1-x^2) + 8x^2 = \frac{2}{Q^2} - 4 + 12x^2$

$f''(x_{res}) = \frac{2}{Q^2} - 4 + 12\left(1 - \frac{1}{2Q^2}\right) = -\frac{4}{Q^2} + 8 \geq 0$

$f''(0) = \frac{2}{Q^2} - 4$   $\oplus Q \leq \frac{1}{\sqrt{2}}$   
 $\ominus Q \geq \frac{1}{\sqrt{2}}$

$\left(1 - \frac{1}{2Q^2} = 0 \quad 2Q^2 = 1 \quad Q = \frac{1}{\sqrt{2}}\right)$